

**Facultatea de Electronică și Telecomunicații
Universitatea Politehnica Timișoara**

Naforniță Corina

**Algoritmi robuști de marcarea transparentă a
imaginilor cu turbocoduri**

Raport de cercetare din cadrul grantului CNCSIS, de tip TD, cod 47, numar
33385/29.06.04

Cuprins

1. Codorul si decodorul turbo	2
Introducere	2
Codorul turbo	2
Structura decodurului iterativ	4
2. Algoritmul MAP	5
Introducere și elemente de matematică.....	5
Calculul valorilor $\alpha_k(s)$ prin recursivitate înainte (la ieșire).....	8
Calculul recursiv al valorilor $\beta_k(s)$	9
Calculul valorilor lui $\gamma_k(s',s)$	9
Sumar al algoritmului MAP	10
3. Principiul decodării turbo iterative	11
Decodarea turbo. Preliminarii matematice	11
Decodarea turbo iterativă.....	12
4. Modificări ale algoritmului MAP	14
Introducere	14
Algoritmul Max-Log-MAP. Preliminarii matematice	15
Corectarea aproximărilor. Algoritmul Log-MAP	17
5. Algoritmul SOVA	18
Descrierea matematică a algoritmului SOVA.....	18
Implementarea algoritmului SOVA	21
6. Compararea algoritmilor decodoarelor componente	21
7. Utilizarea turbo codurilor în marcarea transparentă a imaginilor	23
Marcarea transparentă.....	25
Stabilirea structurii sistemului	26
Abordarea unei codări realizabile practic	27
BIBLIOGRAFIE	30

1. Codorul si decodorul turbo

Introducere

Codarea turbo a fost introdusă în 1993 de Berrou, Glavieux și Thitimajasma [BG96], care raportau rezultate impresionante pentru coduri cu lungime mare a cadrelor. Din momentul apariției, turbocodarea a evoluat într-un ritm fără precedent, datorită eforturilor intense depuse de cercetătorii din domeniu. Ca urmare, turbo codurile au fost introduse și în standarde, ca de exemplu standardul pentru comunicații mobile de generația a treia (3G). În sistemele video de difuzare, unde întârzierea asociată sistemului e mai puțin critică decât în sistemele interactive sensibile la întârzieri, câștigurile în performanță care pot fi atinse sunt și mai impresionante.

În lucrarea lor, [BG96], autorii au folosit concatenarea paralelă a două coduri convoluționale recursive sistematice, RSC (Recursive Systematic Convolutional codes), cu un dispozitiv de aleatorizare (interleaver) plasat între cele două codoare. Rațiunea care a stat la baza folosirii codurilor RSC va fi expusă ulterior în lucrare. Pentru decodare, au folosit o structură iterativă având implementată o variantă modificată a algoritmului MAP (Maximum A Posteriori probability), propus de Bahl, Cocke, Jelinek și Raviv [BCJR74]. Acest algoritm, clasic, conduce la o probabilitate minimă a erorii pe bit, BER (Bit Error Rate). De la apariția turbocodurilor s-a depus un efort enorm în domeniu, pentru a reduce complexitatea decodurului, de către diverși cercetatori, ca Robertson cu Villebrun și Hoher, Berrou cu Adde Angui și Faudeuil, Bataille ș.a.[WH00, VY00]. S-a mai propus și utilizarea turbocodurilor împreună cu scheme de modulație care folosesc eficient banda de frecvențe. Lucrările lui Benedetto și Montorsi [BM96a, BM96b] respectiv Perez ș.a.[PSC96] au facilitat înțelegerea cauzelor performanțelor excelente ale turbocodurilor. Hagenauer ș.a. [HOP96] a extins conceptul și pentru codurile bloc concatenate. Jung și Nasshan citați în [WH00] au analizat performanțele sistemelor codate în care se folosesc cadre scurte, ca de exemplu sistemele de transmisie a vocii. Ei au aplicat turbocodurile și la sistemele CDMA (Code Division Multiple Acces), folosind detecția combinată cu diversitatea antenelor. Barbulescu și Pietrobon s-au ocupat de proiectarea interleaverelor. În lucrarea sa, Sklar a descris decodorul iterativ și componentele acestuia [SKL97].

Codorul turbo

Structura generală utilizată în turbo codoare este prezentată în Figura 1, [BG96]. Sunt utilizate două coduri componente pentru a coda biții de intrare, și un interleaver plasat între cele două codoare.

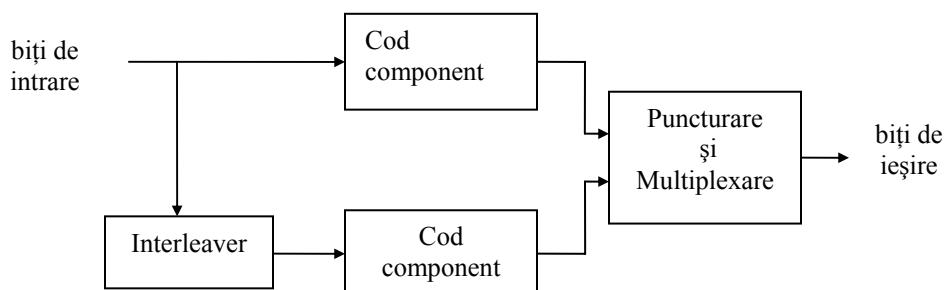


Fig. 1: Schema unui turbo codor

În general sunt utilizate codurile RSC ca și coduri componente, dar este posibil de a se obține performanțe bune, utilizând o structură ca cea din Figura 1, cu ajutorul altor coduri componente, cum ar fi codurile bloc. De asemenea, este posibil să se utilizeze mai mult de două coduri componente.

Ieșirile celor două codoare componente sunt mai apoi puncturate [THI93] și multiplexate. De obicei ambele coduri componente RSC au rată 1/2, dând un bit de paritate și un bit sistematic pentru fiecare bit de intrare.

Pentru a avea o rată de codare per total de jumătate, trebuiesc puncturați jumătate din biții de ieșire ai fiecăruia dintre codoare. Astfel, se transmit toți biții sistematici ai primului codor RSC și jumătate din biții sistematici ai fiecărui codor. De precizat că biții sistematici sunt foarte rar puncturați, deoarece aceasta degradează mult mai dramatic performanța codului decât puncturând biții de paritate. În Figura 2 s-a prezentat un cod RSC de rată 1/2 și lungime de constrângere $K=3$, ce poate fi folosit ca și cod component, în Figura 1.

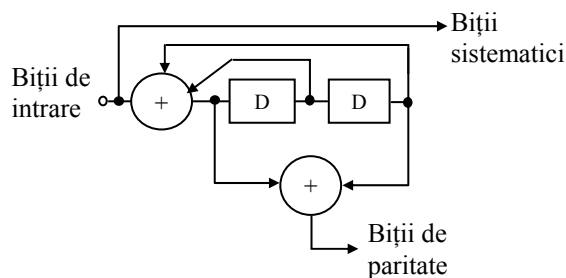


Fig. 2: Codor RSC (sistematic recursiv), $K=3$, $R=1/2$.

Codurile concatenate în paralel au fost investigate, la început, de Berrou ș.a. în articolul din 1993, [BGT93], dar îmbunătățiri considerabile în performanță ale turbo codurilor se datorează interleaverului utilizat între cele codoare și a utilizării codurilor recursive ca și coduri componente. Articole teoretice, publicate de Benedetto și Montorsi [BM96a, BM96b] încearcă să explice remarcabilele performanțe ale turbo codurilor. Se pare că turbo-codurile pot avea un câștig al performanței proporțional cu lungimea interleaverului utilizat. Însă complexitatea decodării per bit nu depinde de lungimea interleaverului. Așadar pot fi obținute performanțe foarte bune, cu o complexitate rezonabilă, prin utilizarea interleaverelor foarte lungi. Însă, în multe aplicații importante, precum

transmișiile vocale, lungimi cadru extrem de lungi nu sunt practice, datorită întârzierii rezultate.

Structura decodării iterative

Structura decodării iterative este prezentată în Figura 3.

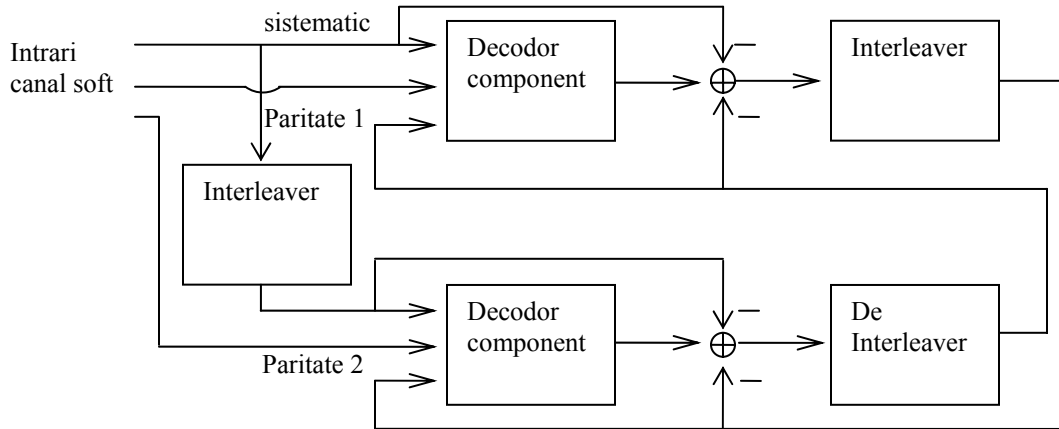


Fig.3: Schema turbodecodării

Două decodoare componente sunt legate prin intermediul unor interleaveere, într-o structură asemănătoare cu cea a codării de la emisie. Fiecare codor primește trei intrări: 1) biții codăți sistematic, de la ieșirea canalului 2) biții de paritate transmiși de la codorul component asociat și 3) informația de la celălalt decodor component despre valorile plauzibile ale biților în cauză. Această informație de la celălalt decodor este numită informație *a priori*. Decodoarele componente trebuie să folosească atât intrările de la canal cât și această informație *a priori*. Ele trebuie să ofere și ceea ce se cunoaște sub denumirea de ieșiri soft pentru biții decodați. Aceasta înseamnă că, pe măsură ce livrează la ieșire secvența de biți decodați, decodoarele componente trebuie să furnizeze, asociat fiecărui bit, și probabilitatea ca acesta să fi fost decodat corect. Două decodoare adecvate sunt cele care folosesc algoritmul SOVA (Soft Output Viterbi Algorithm) [VAJ95] propus de Hagenauer și Hoehner, respectiv algoritmul MAP propus de Bahl ș.a.

Ieșirile soft ale decodoarelor componente sunt de obicei reprezentate sub forma logaritmului raportului de plauzibilitate, LLR (Log Likelihood Ratio), al cărui semn reprezintă decizia hard asupra bitului [JH97], iar mărimea sa reprezintă probabilitatea deciziei corecte sau decizia soft. Astfel, pentru o valoare u_k a bitului decodat, LLR este :

$$L(u_k) = \ln \left(\frac{P(u_k = +1)}{P(u_k = -1)} \right) \quad (1)$$

unde $P(u_k = +1)$ este probabilitatea ca bitul $u_k = +1$ și respectiv $P(u_k = -1)$ probabilitatea ca $u_k = -1$. Pentru simplificarea deducerilor care urmează, cele două valori posibile ale bitului u_k se iau $=1$ și -1 , și nu 1 și 0 .

Decodorul din Figura 3 lucrează iterativ: în prima iterație primul decodor prelucrează doar valorile de ieșire ale canalului și produce ieșirea soft ca estimat al biților de date. Ieșirea soft a primului decodor component e folosită apoi ca informație suplimentară pentru al doilea decodor component, care folosește această informație împreună cu ieșirile canalului, pentru a-și calcula estimatul biților de date. Acum poate începe a doua iterație și primul decodor component decodează din nou ieșirile canalului, dar împreună cu informația suplimentară referitoare la valoarea biților de intrare generată la ieșirea celui de al doilea decodor component la sfârșitul primei iterații. Această informație suplimentară permite primului decodor să obțină un set mai precis de ieșiri soft, care apoi e folosit de al doilea decodor ca informație a priori. Acest ciclu se repetă și, după fiecare iterație, BER al biților decodați descrește. Totuși se limitează la opt numărul de iterații, atât din cauza complexității cât și datorită faptului că îmbunătățirea performanțelor nu crește liniar cu numărul de iterații.

Trebuie avută în vedere și aleatorizarea folosită la codare. Deci e necesar să se ia măsuri pentru aleatorizarea și de-aleatorizarea corectă a LLR-urilor care reprezintă valorile soft ale biților (figura 3). În plus, din cauza decodării iterative, trebuie luate măsuri ca o informație să fie folosită o singură dată în fiecare pas de decodare. Din acest motiv au fost introduse noțiunile de informație extrinsecă respectiv informație intrinsecă, în lucrarea lui Berrou, Glavieux și Thitimajashima.

2. Algoritmul MAP

Introducere și elemente de matematică

Bahl, Cocke, Jelinek și Raviv au propus, în 1974 [BCJR74], un algoritm cunoscut sub numele de algoritmul MAP (Maximum A Posteriori probability) sau BCJR, pentru a determina probabilitățile *a posteriori* ale stărilor și tranzițiilor unei surse Markov, afectată de un zgomot necorelat. Ei au arătat cum poate fi folosit algoritmul pentru decodarea atât a codurilor convoluționale cât și a codurilor bloc. Când e folosit pentru decodarea codurilor convoluționale, algoritmul este optimal, în sensul minimizării BER la decodare, spre deosebire de algoritmul Viterbi [VAJ95] care minimizează probabilitatea de cale incorectă prin trellis selectată de decodor. Astfel, algoritmul Viterbi poate fi privit ca minimizând numărul de *grupuri* de biți asociați căii incorecte și nu al numărului de biți decodați incorect. De altfel, în majoritatea aplicațiilor, performanțele celor doi algoritmi sunt aproape identice [BCJR74]. Algoritmul MAP examinează fiecare din căile posibile prin trellisul decodorului convoluțional și de aceea este extrem de complex. Astfel, complexitatea sa nu a justificat folosirea sa în majoritatea sistemelor. Situația s-a schimbat însă odată cu descoperirea turbocodurilor.

Algoritmul MAP generează nu numai secvența estimată de biți ci și probabilitățile ca fiecare bit să fi fost corect decodat. Acest lucru a fost esențial pentru decodarea iterativă propusă de Berrou ș.a., astfel că în prima lor lucrare a fost folosit algoritmul MAP.

Ulterior au fost depuse mari eforturi pentru reducerea la un nivel rezonabil a complexității algoritmului MAP. În cele ce urmează, vor fi expuse bazele teoretice ale algoritmului MAP folosit pentru decodarea ieșirilor soft ale codurilor convoluționale ce compun turbocodul. Se presupune ca se folosesc coduri binare.

Algoritmul MAP generează pentru fiecare bit u_k decodat, probabilitatea ca acest bit să fi fost +1 sau -1, având dată secvența de simboluri recepționate \underline{y} . Acest lucru este echivalent cu găsirea lui $L(u_k | \underline{y})$ sau LLR a posteriori, adică

$$L(u_k | \underline{y}) = \ln \left(\frac{P(u_k = +1 | \underline{y})}{P(u_k = -1 | \underline{y})} \right) \quad (2)$$

Dacă în trellis sunt cunoscute starea precedentă $S_{k-1} = s'$ și starea prezentă $S_k = s$ atunci va fi cunoscut și bitul de intrare u_k care determină tranziția între aceste stări. Acest lucru, împreună cu regula lui Bayes și faptul că tranzițiile dintre starea precedentă S_{k-1} și starea curentă S_k sunt mutual exclusive (în codor poate apărea doar una dintre ele), permite rescrierea ecuației (2) sub forma :

$$L(u_k | \underline{y}) = \ln \left(\frac{\sum_{(s',s) \Rightarrow u_k = +1} P(S_{k-1} = s' \wedge S_k = s \wedge \underline{y})}{\sum_{(s',s) \Rightarrow u_k = -1} P(S_{k-1} = s' \wedge S_k = s \wedge \underline{y})} \right) \quad (3)$$

unde $(s',s) \Rightarrow u_k = +1$ este setul tranzițiilor din starea precedentă $S_{k-1} = s'$ în starea prezentă $S_k = s$ care poate apărea dacă bitul de intrare $u_k = +1$ și la fel $(s',s) \Rightarrow u_k = -1$. Pentru simplificare se rescrie $P(S_{k-1} = s' \wedge S_k = s \wedge \underline{y})$ ca $P(s' \wedge s \wedge \underline{y})$.

Vom considera acum probabilitățile individuale $P(s' \wedge s \wedge \underline{y})$ de la numărătorul și numitorul ecuației (3). Secvența recepționată \underline{y} poate fi separată în trei părți: cuvântul de cod recepționat asociat tranziției \underline{y}_k prezente, secvența recepționată anterior tranziției prezente $\underline{y}_{j < k}$ și secvența recepționată ulterior tranziției prezente $\underline{y}_{j > k}$. Putem astfel scrie astfel probabilitățile individuale $P(s' \wedge s \wedge \underline{y})$:

$$P(s' \wedge s \wedge \underline{y}) = P(s' \wedge s \wedge \underline{y}_{j < k} \wedge \underline{y}_k \wedge \underline{y}_{j > k}) \quad (4)$$

În figura 4 este prezentată diagrama trellis pentru un cod RSC, cu 4 stări și lungimea de constrângere $K=3$. Liniile continue reprezintă tranzițiile pentru bitul de intrare -1, iar liniile întrerupte reprezintă tranzițiile pentru $u_k = +1$. Valorile $\alpha_{k-1}(s')$, $\gamma_k(s',s)$ și $\beta_k(s)$ sunt calculate de algoritmul MAP.

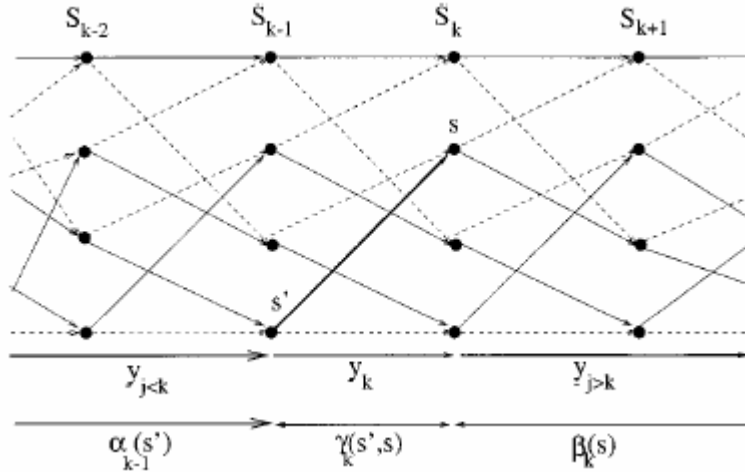


Fig. 4: Diagrama trellis MAP pentru un cod RSC cu K=3

Folosim relația $P(a \wedge b) = P(a|b)P(b)$ consecință a regulii lui Bayes și considerăm un canal fără memorie. Rezultă că viitoarea secvență recepționată $\underline{y}_{j>k}$ va depinde doar de starea prezentă s și nu de starea anterioară s' sau de secvența recepționată anterior $\underline{y}_{j<k}$ respectiv secvența prezentă \underline{y}_k , deci putem scrie :

$$\begin{aligned} P(s' \wedge s \wedge \underline{y}) &= P(s' \wedge s \wedge \underline{y}_{j<k} \wedge \underline{y}_k \wedge \underline{y}_{j>k}) = P(\underline{y}_{j>k} | s) P(s' \wedge s \wedge \underline{y}_{j<k} \wedge \underline{y}_k) \\ &= P(\underline{y}_{j>k} | s) P(\{\underline{y}_k \wedge s\} | s') P(s' \wedge \underline{y}_{j<k}) = \beta_k(s) \gamma_k(s', s) \alpha_{k-1}(s') \end{aligned} \quad (5)$$

unde:

$$\alpha_{k-1}(s') = P(S_{k-1} = s' \wedge \underline{y}_{j<k}) \quad (6)$$

este probabilitatea ca trellisul să fie în starea s' la momentul $k-1$ și secvența recepționată din canal până în acest punct este $\underline{y}_{j<k}$

$$\beta_k(s) = P(\underline{y}_{j>k} | S_k = s) \quad (7)$$

este probabilitatea ca, dacă la momentul k trellisul se află în starea s , viitoarea secvență recepționată din canal să fie $\underline{y}_{j>k}$, și în final,

$$\gamma_k(s', s) = P(\{\underline{y}_k \wedge S_k = s\} | S_{k-1} = s') \quad (8)$$

este probabilitatea ca, dacă trellisul se află în starea s' la momentul $k-1$, el să treacă în starea s și secvența recepționată din canal pentru această tranziție să fie \underline{y}_k .

Ecuția (5) arată că probabilitatea $P(s' \wedge s \wedge \underline{y})$ de trecere a codorului din starea $S_{k-1} = s'$ în starea $S_k = s$ și de recepționare a secvenței \underline{y} , poate fi împărțită într-un produs de factori, $\alpha_{k-1}(s')$, $\gamma_k(s', s)$ și $\beta_k(s)$. Semnificația acestor trei factori este dată în figura 2, unde e marcată cu linie îngroșată tranziția din $S_{k-1} = s'$ în $S_k = s$. Din ecuațiile (3) și (5) putem scrie pentru LLR condiționată a lui u_k , fiind dată secvența \underline{y}_k :

$$\begin{aligned} L(u_k | \underline{y}) &= \ln \left(\frac{\sum_{(s',s) \Rightarrow u_k=+1} P(S_{k-1} = s' \wedge S_k = s \wedge \underline{y})}{\sum_{(s',s) \Rightarrow u_k=-1} P(S_{k-1} = s' \wedge S_k = s \wedge \underline{y})} \right) \\ &= \ln \left(\frac{\sum_{(s',s) \Rightarrow u_k=+1} \alpha_{k-1}(s') \gamma_k(s', s) \beta_k(s)}{\sum_{(s',s) \Rightarrow u_k=-1} \alpha_{k-1}(s') \gamma_k(s', s) \beta_k(s)} \right) \end{aligned} \quad (9)$$

Algoritmul MAP găsește $\alpha_k(s)$ și $\beta_k(s)$ pentru toate stările s prin trellis, de exemplu pentru $k=0, 1, \dots, N-1$ și $\gamma_k(s', s)$ pentru toate tranzițiile posibile din starea $S_{k-1} = s'$ în starea $S_k = s$, din nou pentru $k=0, 1, \dots, N-1$. Aceste valori sunt apoi folosite cu ecuația (9), pentru a obține LLR-urile condiționate $L(u_k | \underline{y})$ pe care decodorul MAP le furnizează. În cele ce urmează e descris modul de calcul al valorilor $\alpha_k(s)$, $\beta_k(s)$ și $\gamma_k(s', s)$.

Calculul valorilor $\alpha_k(s)$ prin recursivitate înainte (la ieșire)

Din definiția lui $\alpha_{k-1}(s')$, (ecuația 6), putem scrie :

$$\begin{aligned} \alpha_k(s) &= P(S_k = s \wedge \underline{y}_{j < k+1}) = P(s \wedge \underline{y}_{j < k} \wedge \underline{y}_k) \\ &= \sum_{\text{toti } s'} P(s \wedge s' \wedge \underline{y}_{j < k} \wedge \underline{y}_k) = \sum_{\text{toti } s'} P(s \wedge s' \wedge \underline{y}_{j < k} \wedge \underline{y}_k) \end{aligned} \quad (10)$$

unde, în ultima linie am împărțit probabilitatea $P(s \wedge \underline{y}_{j < k+1})$ într-o sumă de probabilități mutuale $P(s \wedge s' \wedge \underline{y}_{j < k+1})$ pe toate stările posibile precedente s' . Folosind regula lui Bayes și ipoteza că avem din nou un canal fără memorie, putem proceda astfel:

$$\begin{aligned} \alpha_k(s) &= \sum_{\text{toti } s'} P(s \wedge s' \wedge \underline{y}_{j < k} \wedge \underline{y}_k) \\ &= \sum_{\text{toti } s'} P(\{s \wedge \underline{y}_k\} | \{s' \wedge \underline{y}_{j < k}\}) P(s' \wedge \underline{y}_{j < k}) \\ &= \sum_{\text{toti } s'} P(\{s \wedge \underline{y}_k\} | s') P(s' \wedge \underline{y}_{j < k}) \end{aligned}$$

$$= \sum_{\text{toți } s'} \alpha_{k-1}(s') \gamma_k(s', s) \quad (11)$$

Astfel, odată ce valorile $\gamma_k(s', s)$ sunt cunoscute, valorile $\alpha_k(s)$ pot fi calculate recursiv. Presupunând că trellisul are starea inițială $S_0 = 0$, condițiile inițiale pentru calculul recursiv sunt:

$$\begin{aligned} \alpha_0(S_0=0) &= 1 \\ \alpha_0(S_0=s) &= 0 \text{ pentru toți } s \neq 0 \end{aligned} \quad (12)$$

Calculul recursiv al valorilor $\beta_k(s)$

Valorile lui $\beta_k(s)$ pot fi calculate recursiv, în mod asemănător. Folosind o deducere similară cu cea a ecuației (11), se poate arăta că

$$\beta_{k-1}(s') = P\left(\underline{y}_{-j>k-1} | S_k = s'\right) = \sum_{\text{toți } s} \beta_k(s) \gamma_k(s', s) \quad (13)$$

Astfel că, odată ce sunt cunoscute valorile $\gamma_k(s', s)$ poate fi folosită o recursivitate înapoi / la intrare pentru a calcula valorile lui $\beta_{k-1}(s')$ din valorile lui $\beta_k(s)$ folosind relația (13).

Calculul valorilor lui $\gamma_k(s', s)$

Vom vedea acum cum pot fi calculate valorile $\gamma_k(s', s)$ ale probabilității tranziției, din relația (5), din secvența recepționată din canal și orice informație disponibilă a priori. Folosind definiția lui $\gamma_k(s', s)$ (relația 8) și regula lui Bayes, avem:

$$\begin{aligned} \gamma_k(s', s) &= P\left(\{\underline{y}_k \wedge s\} | s'\right) = P\left(\underline{y}_k | \{s' \wedge s\}\right) P(s | s') \\ &= P\left(\underline{y}_k | \{s' \wedge s\}\right) P(u_k) = P\left(\underline{y}_k | \underline{x}_k\right) P(u_k) \end{aligned} \quad (14)$$

unde:

u_k este bitul de intrare necesar pentru a determina tranziția din starea $S_{k-1} = s'$ în starea $S_k = s$

$P(u_k)$ este probabilitatea a priori a acestui bit

\underline{x}_k este cuvântul de cod transmis asociat acestei tranziții.

Astfel, probabilitatea tranziției $\gamma_k(s', s)$ e dată de produsul dintre probabilitatea a priori a bitului de intrare u_k necesar pentru această tranziție și probabilitatea ca având dat

cuvântul de cod \underline{x}_k care s-a transmis, asociat acestei tranziții, să recepționăm secvența de canal \underline{y}_k . Probabilitatea a priori $P(u_k)$ e dedusă într-un decodor iterativ din ieșirea decodorului component precedent, și probabilitatea condiționată a secvenței recepționate $P(\underline{y}_k | \underline{x}_k)$ e dată, în ipoteza canalului gaussian fără memorie cu modulație BPSK, ca:

$$P(\underline{y}_k | \underline{x}_k) = \prod_{l=1}^n P(y_{kl} | x_{kl}) = \prod_{l=1}^n \frac{1}{\sqrt{2\pi}} e^{\left(-\frac{E_b R}{2\sigma^2} (y_{kl} - ax_{kl})^2\right)} \quad (15)$$

unde:

x_{kl} și y_{kl} sunt biții individuali, din cuvintele de cod \underline{x}_k transmis și \underline{y}_k recepționat

n este numărul biților din fiecare cuvânt de cod

E_b este energia per bit transmisă

σ^2 este dispersia zgomotului (varianța)

a este amplitudinea fadingului; pentru canale fără fading, de tip AWGN $a=1$

Sumar al algoritmului MAP

Din cele prezentate se vede că decodarea MAP a secvenței recepționate \underline{y} pentru a obține LLR a posteriori, $L(u_k | \underline{y})$ poate fi rezumată după cum urmează. Pe măsura recepționării valorilor y_{kl} , ele sunt folosite împreună cu LLR-urile a priori $L(u_k)$ (care într-un decodor turbo iterativ sunt furnizate de celălalt decodor component) pentru a calcula $\gamma_k(s', s)$ conform relațiilor (14) și (15). Pe măsura recepționării din canal a valorilor y_{kl} și calculării valorilor $\gamma_k(s', s)$, se poate folosi recursivitatea înainte (relația 11), pentru a calcula $\alpha_k(s', s)$. Odată ce toate valorile din canal au fost recepționate și au fost calculate $\gamma_k(s', s)$ pentru toți $k=1, 2, \dots, N$, poate fi folosită recursivitatea înapoi (relația 13) pentru a calcula valorile $\beta_k(s', s)$. În final, toate valorile calculate pentru $\alpha_k(s', s)$, $\beta_k(s', s)$ și $\gamma_k(s', s)$ sunt folosite în (9) pentru a calcula $L(u_k | \underline{y})$. Trebuie luate măsuri pentru a evita problemele de depășire negativă în calculul lui $\alpha_k(s', s)$ și $\beta_k(s', s)$, dar asemenea probleme pot fi evitate printr-o normalizare adecvată a acestor valori. Aceste normalizări dispar, din cauza raportului existent în relația (9), astfel încât nu vor modifica LLR-urile furnizate de algoritm.

Algoritmul MAP este extrem de complex în forma descrisă, din cauza înmulțirilor necesare în relațiile (11) și (13), pentru calculul recursiv al valorilor $\alpha_k(s', s)$ și $\beta_k(s', s)$, a înmulțirii și exponențialelor necesare la calculul lui $\gamma_k(s', s)$ folosind relația (15), precum și a înmulțirilor și logaritmului natural necesare pentru calculul lui $L(u_k | \underline{y})$, folosind relația (9). De aceea, s-a depus un efort continuu pentru reducerea

complexității algoritmului, și s-a ajuns la algoritmul Log-MAP propus de Robertson, ș.a. având aceleași performanțe ca și algoritmul MAP, dar cu o complexitate semnificativ mai mică și fără problemele de scalare menționate.

3. Principiul decodării turbo iterative

Decodarea turbo. Preliminarii matematice

În cele ce urmează vor fi descrise conceptele de informație extrinsecă și intrinsecă folosite de Berrou ș.a. [BGT93] și modul în care algoritmul MAP respectiv alte decodare cu intrare soft și ieșire soft, SISO (Soft-In-Soft-Out) se pot utiliza în decodarea iterativă a turbo codurilor.

În [BGT93] se arată că, pentru un cod sistematic cum e codul RSC, ieșirea decodorului MAP, dată de relația (9), poate fi rescrisă ca:

$$L(u_k | \underline{y}) = \ln \left(\frac{\sum_{(s',s) \Rightarrow u_k = +1} \alpha_{k-1}(s') \gamma_k(s',s) \beta_k(s)}{\sum_{(s',s) \Rightarrow u_k = -1} \alpha_{k-1}(s') \gamma_k(s',s) \beta_k(s)} \right) = L(u_k) + L_c y_{ks} + L_e(u_k) \quad (16)$$

unde :

$$L_e(u_k) = \ln \left(\frac{\sum_{(s',s) \Rightarrow u_k = +1} \alpha_{k-1}(s') \chi_k(s',s) \beta_k(s)}{\sum_{(s',s) \Rightarrow u_k = -1} \alpha_{k-1}(s') \chi_k(s',s) \beta_k(s)} \right) \quad (17)$$

Aici, $L(u_k)$ este LLR a priori dat de ecuația (1), iar L_c e numit măsura gradului de încredere sau a siguranței canalului, și se calculează cu relația

$$L_c = \frac{4a}{2\sigma^2} \quad (18)$$

y_{ks} este versiunea recepționată a bitului sistematic transmis $x_{ks} = u_k$, iar

$$\chi_k(s',s) = \exp \left(\frac{L_c}{2} \sum_{l=2}^n y_{kl} x_{kl} \right) \quad (19)$$

Astfel putem vedea că LLR a posteriori $L(u_k | \underline{y})$ calculat cu algoritmul MAP poate fi văzut ca format din trei termeni, $L(u_k)$, $L_c y_{ks}$ și $L_e(u_k)$. Termenul $L(u_k)$ din LLR a priori derivă din $P(u_k)$ din expresia (14) pentru probabilitatea tranziției ramurii $\gamma_k(s',s)$. Aceasta probabilitate ar putea proveni dintr-o sursă independentă. În majoritatea

cazurilor nu vom avea cunoștințe independente sau a priori despre valoarea cea mai plauzibilă a bitului u_k , și astfel $L(u_k) = 0$ (LLR a priori), corespunzând unei probabilități a priori $P(u_k) = 0,5$. Totuși, în cazul unui decodor turbo iterativ, fiecare decodor component poate furniza celui alt decodor un estimat a priori a LLR, $L(u_k)$, așa după cum se va vedea în continuare [WH00].

Al doilea termen, $L_c y_{ks}$ din relația (16) este ieșirea soft a canalului pentru bitul sistematic u_k , care a fost transmis direct în canal și recepționat ca y_{ks} . Când raportul semnal pe zgomot, SNR (Signal to Noise Ratio) al canalului este mare, valoarea gradului de siguranță al canalului în ecuația (18) va fi mare și acest bit sistematic va avea o influență mare asupra LLR a posteriori $L(u_k | \underline{y})$. Când, dimpotrivă, canalul este de calitate scăzută și L_c este mic, ieșirea soft a canalului pentru bitul sistematic recepționat y_{ks} va avea o influență mai redusă asupra LLR a posteriori generat de algoritmul MAP.

Ultimul termen din ecuația (16), $L_e(u_k)$ este dedus folosind condițiile impuse de codul folosit, din secvența $L(u_n)$ de informație a priori și secvența \underline{y} de informație recepționată din canal, *excluzând* biții sistematici y_{ks} recepționați și informația a priori $L(u_k)$ pentru bitul u_k . De aceea, el este denumit LLR *extrinsec* pentru bitul u_k . Ecuația (16) arată că informația extrinsecă de la decodorul MAP poate fi obținută scăzând informația a priori $L(u_k)$ și intrarea sistematică recepționată a canalului $L_c y_{ks}$ din ieșirea soft $L(u_k | \underline{y})$ a decodorului. Acesta este motivul pentru scăderea din Figura 3. Pentru celălalt decodor component folosit în decodarea turbo, se pot deduce ecuații similare cu (16).

Acum pot fi expuse pe scurt noțiunile de *informație a priori*, *a posteriori* și *extrinsecă*, care stau la baza decodării iterative a turbo codurilor.

a priori informația a priori despre un bit este informația cunoscută înainte de a începe decodarea, de la o altă sursă decât secvența recepționată sau constrângerile ale codului. Ea este uneori numită și informație intrinsecă, în contrast cu informația extrinsecă, descrisă mai jos.

extrinsec informația extrinsecă despre un bit u_k este informația furnizată de decodor pe baza secvenței recepționate și a informației a priori *excluzând* bitul sistematic y_{ks} recepționat și informația a priori $L(u_k)$ pentru bitul u_k . Tipic, această informație e furnizată de decodorul component folosind constrângerile impuse secvenței transmise de codul utilizat. El procesează biții recepționați și informația a priori referitoare la bitul sistematic u_k și folosește aceste informații și constrângerile codului pentru a furniza informații despre valoarea lui u_k .

a posteriori informația a posteriori despre un bit e informația luată în considerare de către decodor de la *toate* sursele de informație, referitoare la u_k . Este LLR a posteriori și anume $L(u_k | \underline{y})$ generat de algoritmul MAP la ieșire.

Decodarea turbo iterativă

Considerăm la început primul decodor component, la prima iterație. Acesta primește secvența din canal $L_c y^{(1)}$ conținând versiunea recepționată a biților sistematici transmiși $L_c y_{ks}$ și a biților de paritate $L_c y_{kl}$ de la primul codor. De obicei, pentru a reduce la jumătate rata codului, jumătate din acești biți de paritate vor fi eliminați la transmițător și

astfel decodorul turbo va trebui să insereze zerouri în ieșirea soft a canalului $L_c y_{kl}$ pentru acești biți strecurați. Primul decodor component poate apoi procesa intrările soft de la canal și să producă estimatul său $L_{11}(u_k | \underline{y})$ a LLR-urilor condiționate a biților de date u_k , $k=1,2,\dots,N$. Cu notația folosită, indicele 11 din $L_{11}(u_k | \underline{y})$ indică că acesta este LLR a posteriori din prima iterație a primului decodor component. De remarcat este faptul ca în aceasta prima iterație, primul decodor component nu are informație a priori despre bit și astfel $P(u_k)$ din (16) care da $\gamma_k(s',s)$ va fi 0,5.

Apoi al doilea decodor component începe să lucreze. El recepționează secvența de canal $\underline{y}^{(2)}$ conținând versiunea aleatorizată a biților sistematici recepționați și biții de paritate de la al doilea codor. Turbo decodorul va trebui să insereze zerouri din nou în aceasta secvență, dacă biții de paritate generați de codor au fost strecurați înaintea transmisiei. Acum însă, pe lângă $\underline{y}^{(2)}$ secvența de canal recepționată, decodorul poate utiliza LLR condiționată $L_{11}(u_k | \underline{y})$ furnizată de primul decodor component pentru a genera LLR-urile a priori $L(u_k)$ care vor fi utilizate de al doilea decodor component. Metaforic vorbind acest LLR a priori $L(u_k)$, care se referă la bitul u_k , este dat de o „comportare independentă a informației, cu scopul de a avea două opinii independente despre calitatea canalului” referitoare la bitul u_k . Acesta va furniza o „a doua opinie despre calitatea canalului” în ceea ce privește bitul u_k . Într-un decodor turbo iterativ, informația extrinsecă $L_e(u_k)$ de la celălalt decodor component e folosită ca LLR-uri a priori, după ce a fost aleatorizată pentru a rearanja biții decodați \underline{u} în aceeași ordine în care au fost codati de al doilea codor. Al doilea decodor component folosește astfel secvența de canal recepționată $\underline{y}^{(2)}$ și LLR-urile a priori $L(u_k)$ (rezultate prin aleatorizarea LLR-urilor extrinseci $L_e(u_k)$ ale primului decodor component) pentru a produce LLR-ul său a posteriori $L_{12}(u_k | \underline{y})$. Acesta este sfârșitul primei iterații.

Pentru a doua iterație primul decodor component procesează din nou secvența sa recepționată din canal $\underline{y}^{(1)}$, dar acum el are și LLR-urile a priori $L(u_k)$ date de partea extrinsecă $L_e(u_k)$ a LLR-urilor a posteriori $L_{12}(u_k | \underline{y})$ calculate de al doilea decodor component, și astfel el poate produce un LLR a posteriori îmbunătățit $L_{21}(u_k | \underline{y})$. A doua iterație continuă apoi cu al doilea decodor component folosind LLR-urile a posteriori îmbunătățite $L_{21}(u_k | \underline{y})$ de la primul codor, pentru a deduce cu relația (16) un LLR a priori îmbunătățit $L(u_k)$ pe care îl folosește împreună cu secvența de canal recepționată $\underline{y}^{(2)}$ pentru a calcula $L_{22}(u_k | \underline{y})$.

Acest proces iterativ continuă și cu fiecare iterație, BER mediu a biților decodați scade. Dar, după un anumit număr de iterații [SKL97] performanța nu se mai îmbunătățește la fiecare iterație, odată cu creșterea numărului de iterații. Astfel, deoarece nu mai apare o îmbunătățire de performanță semnificativă, după un anumit număr de iterații și din motive de complexitate, se limitează numărul de iterații la opt.

La decodarea iterativă a turbo codurilor, informația a priori folosită de decodorul component în contextul bitului u_k , ar trebuie să fie, în mod ideal, bazată pe o „conduită a informației”, independentă de ieșirile canalului folosite de acel decodor. Mai explicit, bitul de informație sistematic original și biții de paritate aferenți sunt afectați diferit de canal, din cauza constrângerilor impuse de cod. Astfel, chiar dacă bitul de informație sistematic a fost foarte corupt de canal, biții de paritate aferenți pot ajuta decodorul să obțină un estimat, cu un mare grad de siguranță, asupra bitului afectat de canal. Totuși, după cum s-a explicat anterior, în decodările turbo $L_e(u_k)$ pentru bitul u_k folosesc toți biții de paritate recepționați disponibili și toți biții sistematici recepționați, cu excepția valorii y_{ks} recepționată, asociată bitului u_k . Aceeași biți sistematici recepționați sunt folosiți și de celelalte părți ale decodorului, care folosesc versiuni aleatorizate sau de-aleatorizate ale LLR-urilor a priori $L_e(u_k)$. Astfel, LLR-urile a priori $L(u_k)$ nu sunt cu adevărat independente față de \underline{y} , ieșirile canalului folosite de decodările componente. Totuși, deoarece codurile convoluționale au o memorie redusă, de obicei doar patru biți sau mai puțini, LLR extrinsec $L_e(u_k)$ este singurul afectat semnificativ de biții sistematici recepționați relativ apropiați de bitul u_k . Când LLR extrinsec $L_e(u_k)$ e folosit ca LLR a priori $L(u_k)$ de celălalt decodor component, din cauza aleatorizării folosite, bitul u_k și vecinii săi vor fi probabil separați mult. Astfel că dependența LLR-urilor a priori $L(u_k)$ față de valorile sistematice de canal recepționate folosite de celălalt decodor component, va avea un efect relativ redus și decodarea iterativă dă rezultate bune.

Un alt motiv pentru utilizarea decodării iterative este dat de cât de bine lucrează: decodarea optimală a turbocodurilor conduce la o performanță cu doar câteva fracțiuni de dB, (0,35-0,5) dB mai bună decât performanța obținută cu decodarea iterativă folosind algoritmul MAP [WH00]. Apoi au găsite diferite scheme de codare care permit apropierea de limita lui Shannon, la câteva fracțiuni de dB, limita care ne indică cea mai buna performanță obținabilă teoretic. Astfel că decodarea iterativă a turbo codurilor se pare că duce la performanță optimă.

După ce a fost descrisă folosirea algoritmului MAP la decodarea iterativă a codurilor turbo, vom descrie și alte decodări cu intrare soft și ieșire soft, mai puțin complexe, care pot fi folosite în locul algoritmului MAP, și anume Max-Log-MAP, Log-MAP și SOVA.

4. Modificări ale algoritmului MAP

Introducere

Algoritmul MAP este mult mai complex decât algoritmul Viterbi, iar pentru decizii hard cei doi algoritmi dau performanțe aproape identice. De aceea nu a fost folosit timp de aproape două decenii. Interesul față de el a reapărut odată cu apariția turbo codurilor și s-a realizat că i se poate reduce foarte mult complexitatea fără a-i afecta performanța. Inițial a fost propus algoritmul Max-Log-MAP de către Koch și Baier, respectiv Erfanian ș.a. [WH00]. Această tehnică simplifică algoritmul MAP prin translatarea recursivității în domeniul logaritmic și folosirea unei aproximări. Datorită acestei aproximări performanța algoritmului este suboptimală față de cea a algoritmului MAP. Astfel că în 1995 a apărut o nouă propunere, a lui Robertson ș.a., [VY00], și anume algoritmul Log-MAP, care

corectează aproximarea menționată, păstrând însă performanțele algoritmului MAP, și scăzând dramatic complexitatea față de acesta.

Algoritmul Max-Log-MAP. Preliminarii matematice

Algoritmul MAP calculează LLR-urile a posteriori $L(u_k | \underline{y})$ folosind relația (9), lucru ce necesită următoarele valori:

- 1- valorile $\alpha_{k-1}(s')$, care se calculează printr-o recursivitate înainte (relația 11),
- 2- valorile $\beta_k(s)$, care se calculează printr-o recursivitate înapoi (relația 13)
- 3- probabilitățile $\gamma_k(s', s)$ de tranziție a ramurii, care se calculează cu relația (14).

Algoritmul Max-Log-MAP simplifică aceste operații prin transferarea în domeniul logaritmic și folosirea apoi a aproximării:

$$\ln \left(\sum_i e^{x_i} \right) \approx \max_i(x_i) \quad (20)$$

unde $\max_i(x_i)$ înseamnă valoarea maximă a lui x_i . Se definesc apoi $A_k(s)$, $B_k(s)$ și $\Gamma_k(s', s)$ astfel:

$$A_k(s) \triangleq \ln(\alpha_k(s)) \quad (21)$$

$$B_k(s) \triangleq \ln(\beta_k(s)) \quad (22)$$

$$\Gamma_k(s', s) \triangleq \ln \gamma_k(s', s) \triangleq \ln(\gamma_k(s', s)) \quad (23)$$

Cu aceste notații, relația (11) devine :

$$\begin{aligned} A_k(s) &\triangleq \ln(\alpha_k(s)) \\ &= \ln \left(\sum_{\text{toti } s'} \alpha_{k-1}(s') \gamma_k(s', s) \right) \\ &= \ln \left(\sum_{\text{toti } s'} \exp [A_{k-1}(s') + \Gamma_k(s', s)] \right) \\ &\approx \max_s (A_{k-1}(s') + \Gamma_k(s', s)) \end{aligned} \quad (24)$$

Conform ecuației (24), pentru fiecare cale dintre starea precedentă și starea prezentă $S_k = s$, algoritmul adună metricile de ramură $\Gamma_k(s', s)$ la valoarea precedentă $A_{k-1}(s')$, pentru a găsi, pentru acea cale, noua valoare $\tilde{A}_k(s)$. Conform cu relația (24), noua valoare $A_k(s)$ este maximum valorilor $\tilde{A}_k(s)$ a diverselor căi care ajung în starea $S_k = s$. Acest lucru poate fi văzut că selectarea unei căi ca „supraviețuitor” și renunțarea

la celelalte căi care ajung la starea respectivă. Valoarea lui $A_k(s)$ ar trebui să dea logaritmul natural al probabilității ca trellisul să se afle în starea $S_k = s$ în etapa k , având dată secvența de canal recepționată până la acest punct $\underline{y}_{j < k}$. Totuși, din cauza aproximării (relația 20) folosite pentru a deduce relația (24), se ia în considerare doar calea de plauzibilitate maximă ML (Maximum Likelihood) spre $S_k = s$, când se calculează această plauzibilitate. Astfel că valoarea lui A_k din algoritmul Max-Log-MAP dă de fapt probabilitatea celei mai plauzibile căi prin trellis spre starea $S_k = s$, nu probabilitatea oricărei cai prin trellis spre starea $S_k = s$. Această aproximare este una din cauzele performanței suboptimale a algoritmului Max-Log-MAP față de cea a algoritmului MAP.

Din relația (24) se vede ca în algoritmul Max-Log-MAP, recursivitatea înainte folosită pentru calculul lui $A_k(s)$ este aceeași ca cea din algoritmul Viterbi – pentru fiecare pereche de căi care ajung la aceeași stare, găsirea supraviețuitorului implică două adunări și o comparație. De remarcat este ca pentru trellisul binar, sumarea și maximizarea față de toate stările precedente $S_{k-1} = s'$ din relația (24), vor fi de fapt doar pentru două stări precedente $S_{k-1} = s'$ care au cale spre starea actuală $S_k = s$. Pentru toate celelalte valori ale lui s' vom avea $\gamma_k(s', s) = 0$.

Asemănător cu relația (24) folosită pentru a calcula $A_k(s)$ printr-o recursivitate înainte, relația (13) poate fi rescrisă astfel:

$$B_{k-1} \triangleq \ln(\beta_{k-1}(s')) \approx \max_s (B_k(s) + \Gamma_k(s', s)) \quad (25)$$

pentru a calcula valorile $B_{k-1}(s')$ printr-o recursivitate înapoi. Se vede asemănarea cu algoritmul Viterbi, cu excepția sensului de parcurgere a trellisului.

Folosind relațiile (14) și (15), se poate scrie metrica de ramură $\Gamma_k(s', s)$ ca:

$$\Gamma_k(s', s) \triangleq \ln(\gamma_k(s', s)) = C + \frac{1}{2} u_k L(u_k) + \frac{L_c}{2} \sum_{l=1}^n y_{kl} x_{kl} \quad (26)$$

unde C nu depinde de u_k sau de cuvântul de cod transmis x_k , astfel că va fi considerat o constantă și va fi omis. Astfel metrica de ramură este echivalentă cu cea din algoritmul Viterbi, cu adunarea LLR a priori $u_k L(u_k)$. În plus, termenul $\sum_{l=1}^n y_{kl} x_{kl}$ care reprezintă corelația, este ponderat cu L_c , gradul de siguranță al canalului (relația 18).

În final, din relația (9) putem scrie pentru LLR-urile a posteriori $L(u_k | \underline{y})$ calculate cu algoritmul Max-Log-MAP :

$$L(u_k | \underline{y}) = \ln \left(\frac{\sum_{(s', s) \Rightarrow u_k = +1} \alpha_{k-1}(s') \gamma_k(s', s) \beta_k(s)}{\sum_{(s', s) \Rightarrow u_k = -1} \alpha_{k-1}(s') \gamma_k(s', s) \beta_k(s)} \right) \quad (27)$$

$$\approx \max_{(s',s) \Rightarrow u_k = +1} (A_{k-1}(s') + \Gamma_k(s',s) + B_k(s)) - \max_{(s',s) \Rightarrow u_k = -1} (A_{k-1}(s') + \Gamma_k(s',s) + B_k(s))$$

Aceasta înseamnă că în algoritmul Max-Log-MAP, pentru fiecare bit u_k se calculează LLR a posteriori $L(u_k|y)$ prin considerarea fiecărei tranziții între nivelurile S_{k-1} și S_k ale trellisului. Aceste tranziții sunt apoi grupate în cele care pot apărea dacă $u_k = +1$ și cele care pot apărea dacă $u_k = -1$. Pentru ambele grupuri se găsește tranziția care dă valoarea maximă pentru $A_{k-1}(s') + \Gamma_k(s',s) + B_k(s)$ și LLR a posteriori se calculează doar pe baza acestor două tranziții, cele mai bune.

Algoritmul Max-Log-MAP poate fi rezumat după cum urmează. Se folosește, la fel ca la algoritmul Viterbi, un calcul recursiv înainte, respectiv înapoi, pentru determinarea lui $A_k(s)$ cu relația (24), și $B_k(s)$ cu relația (25). Metrica de ramura $\Gamma_k(s',s)$ se calculează cu relația (26) în care poate fi omisă constanta C . Apoi, după executarea ambelor recursivități înainte și înapoi, se poate calcula LLR a posteriori, cu relația (27). În acest fel, complexitatea algoritmului Max-Log-MAP nu este semnificativ mai mare decât cea a algoritmului Viterbi, adică în loc de o recursivitate apar două, metrica de ramură din (26) are un termen suplimentar a priori $u_k L(u_k)$ adunat la ea, și pentru fiecare bit trebuie folosită relația (27) pentru a da LLR-urile a posteriori. Viterbi a constatat că algoritmul Max-Log-MAP are o complexitate de doar trei ori mai mare decât a decodurului Viterbi [WH00]. Din păcate memoria necesară este mult mai mare, deoarece trebuie memorate atât metricile de cale $A_k(s)$ calculate prin recursivitate înainte, cât și $B_k(s)$ calculate prin recursivitate înapoi, înainte de a putea calcula $L(u_k|y)$. Dar, așa cum tot Viterbi a arătat, printr-o creștere relativ redusă a volumului de calcul, de aproximativ patru ori față de cea a algoritmului Viterbi, necesarul de memorie scade foarte mult, devenind practic egal cu cel al decodurului Viterbi.

Corectarea aproximărilor. Algoritmul Log-MAP

Algoritmul Max-Log-MAP are o mică scădere de performanță față de algoritmul MAP, din cauza aproximării dată de relația (20), care în cazul turbo codurilor este în jur de 0,35 dB [WH00]. Folosind însă logaritmul Jacobian, poate fi scrisă o relație exactă, evitând aproximarea din relația (20), astfel:

$$\begin{aligned} \ln(e^{x_1} + e^{x_2}) &= \max(x_1, x_2) + \ln(1 + e^{-|x_1 - x_2|}) \\ &= \max(x_1, x_2) + f_c(|x_1 - x_2|) = g(x_1, x_2) \end{aligned} \quad (28)$$

unde $f_c(x)$ poate fi considerat ca un termen de corecție. Acest lucru stă la baza algoritmului Log-MAP propus de Robertson, Villebrun și Hoeher [.....vucetici.....]. În acest algoritm, se calculează valorile pentru $A_k(s) \triangleq \ln(\alpha_k(s))$ și $B_k(s) \triangleq \ln(\beta_k(s))$ asemănător ca în algoritmul Max-Log-MAP, folosind recursivitatea înainte și înapoi, dar maximizările din relațiile (24) și (25) sunt corectate de termenul $f_c(x)$ din relația (28). Termenul de corecție nu trebuie calculat pentru fiecare valoare a lui x , ci poate fi

memorat într-o tabelă. Autorii algoritmului Log-MAP au arătat că sunt suficiente opt valori de corecție, cuprinse între 0 și 5. Algoritmul Log-MAP este puțin mai complex decât Max-Log-MAP, dar are aceleași performanțe ca algoritmul MAP, lucru care îl face adecvat și atractiv pentru folosirea sa în decodarea componentelor ale unui decodor turbo iterativ.

5. Algoritmul SOVA

Descrierea matematică a algoritmului SOVA

Algoritmul SOVA, un algoritm cu intrări soft și ieșiri soft, este construit pe baza algoritmului Viterbi clasic. Față de acesta, algoritmul are două modificări care permit utilizarea sa în decodarea turbo [VAJ95]. Mai întâi, metricile de cale sunt modificate pentru a ține cont de informația a priori când se selectează calea prin trellis. În al doilea rând, algoritmul este modificat astfel încât să genereze ieșiri soft sub forma de LLR a posteriori $L(u_k|y)$ pentru fiecare bit decodat.

Prima modificare este ușor de realizat. Considerăm secvența de stări \underline{s}_k care dă stările de-a lungul căii supraviețuitoare la starea $S_k = s$ la momentul k de pe trellis. Probabilitatea ca aceasta să fie calea corectă prin trellis este:

$$p(\underline{s}_k^s | \underline{y}_{j \leq k}) = \frac{p(\underline{s}_k^s \wedge \underline{y}_{j \leq k})}{p(\underline{y}_{j \leq k})} \quad (29)$$

Cum numitorul este constant, adică probabilitatea secvenței recepționate $\underline{y}_{j \leq k}$ pentru tranzițiile până la și inclusiv a k -a tranziție, pentru toate căile \underline{s}_k^s , este constantă, rezultă că probabilitatea ca \underline{s}_k^s să fie corectă este proporțională cu $p(\underline{s}_k^s \wedge \underline{y}_{j \leq k})$. Deci metrica ar trebui să fie astfel definită încât maximizarea să conste în maximizarea lui $p(\underline{s}_k^s \wedge \underline{y}_{j \leq k})$. De asemenea, metrica trebuie să fie ușor de calculat într-un mod recursiv, la trecerea de la nivelul $k-1$ la k . Dacă \underline{s}_k^s , calea de la nivelul k , are pentru primele $k-1$ tranziții calea $\underline{s}_{k-1}^{s'}$, atunci, presupunând că avem un canal fără memorie și folosind definiția lui $\gamma_k(s', s)$ din relația (8), vom avea :

$$p(\underline{s}_k^s \wedge \underline{y}_{j \leq k}) = p(\underline{s}_{k-1}^{s'} \wedge \underline{y}_{j \leq k-1}) p(s \wedge \underline{y}_k | s') = p(\underline{s}_{k-1}^{s'} \wedge \underline{y}_{j \leq k-1}) \gamma_k(s', s) \quad (30)$$

Metrica adecvată $M(\underline{s}_k^s)$ pentru calea \underline{s}_k^s este definită ca:

$$M(\underline{s}_k^s) \triangleq \ln(p(\underline{s}_k^s \wedge \underline{y}_{j \leq k})) = M(\underline{s}_{k-1}^{s'}) + \ln(\gamma_k(s', s)) \quad (31)$$

Folosind relația (26) și omițând constanta C , vom avea :

$$M(\underline{s}_k^s) = M(\underline{s}_{k-1}^{s'}) + \frac{1}{2}u_k L(u_k) + \frac{L_c}{2} \sum_{l=1}^n y_{kl} x_{kl} \quad (32)$$

Astfel, la algoritmul SOVA, metrica este actualizată ca la algoritmul Viterbi, cu termenul $u_k L(u_k)$ adăugat suplimentar, astfel încât să poată fi luată în considerare informația a priori disponibilă. Trebuie observat că acest lucru este echivalent cu recursivitatea înainte (relația 24) folosită pentru calculul lui $A_k(s)$ în algoritmul Max-Log-MAP.

Acum vom analiza a doua modificare a algoritmului, pentru a obține ieșiri soft. În trellisul binar există două căi care ajung în starea $S_k=s$ în nivelul k al trellisului. Algoritmul Viterbi modificat, care ține cont de informația a priori $u_k L(u_k)$, calculează metrica (relația 32) pentru ambele căi și *renunță la calea de metrică minimă*. Dacă cele două căi \underline{s}_k^s și $\hat{\underline{s}}_k^s$ au metricile $M(\underline{s}_k^s)$ și $M(\hat{\underline{s}}_k^s)$ și este selectată calea \underline{s}_k^s ca supraviețuitor, deoarece metrica sa este mai mare, atunci putem defini diferența metricilor Δ_k^s ca:

$$\Delta_k^s = M(\underline{s}_k^s) - M(\hat{\underline{s}}_k^s) \geq 0. \quad (33)$$

Probabilitatea de a fi luat o decizie corectă selectând calea \underline{s}_k^s ca supraviețuitor și renunțarea la calea $\hat{\underline{s}}_k^s$ este deci:

$$P(\text{decizie corectă la } S_k = s) = \frac{P(\underline{s}_k^s)}{P(\underline{s}_k^s) + P(\hat{\underline{s}}_k^s)}. \quad (34)$$

Ținând cont de definiția metricii de cale (relația 31) avem :

$$P(\text{decizie corectă la } S_k = s) = \frac{e^{M(\underline{s}_k^s)}}{e^{M(\underline{s}_k^s)} + e^{M(\hat{\underline{s}}_k^s)}} = \frac{e^{\Delta_k^s}}{1 + e^{\Delta_k^s}} \quad (35)$$

și LLR ca aceasta să fie decizia corectă e dată pur și simplu de Δ_k^s .

În figura 5 e prezentată o secțiune simplificată a trellisului pentru codul RSC, cu $K=3$ și diferențele metricilor Δ_k^s marcate în diferite puncte ale trellisului.

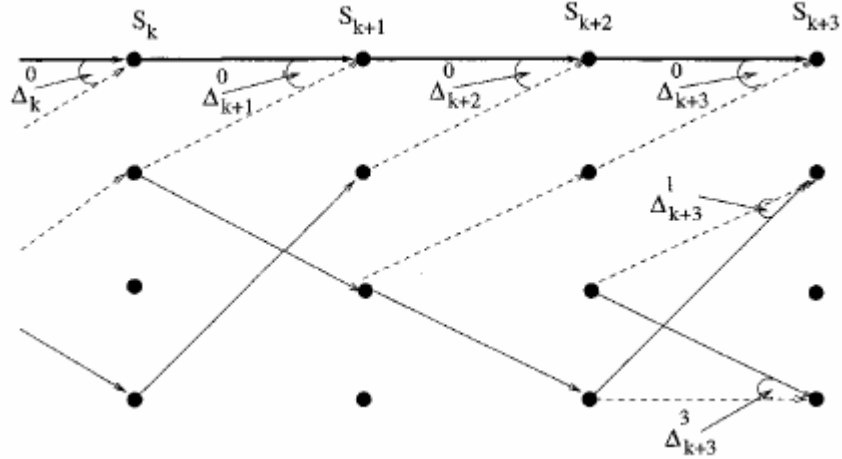


Fig. 5: Secțiune simplificată a trellisului pentru codul RSC, K=3, cu decodare SOVA.

Când se ajunge la sfârșitul trellisului și am identificat calea ML prin trellis trebuie să găsim LLR-urile care dau gradul de încredere al deciziilor asupra biților, de-a lungul căii ML. Cu privire la algoritmul Viterbi s-a făcut constatarea că toți supraviețuitorii de la nivelul l din trellis provin, în mod normal, de la aceeași cale, dintr-un punct plasat cu l puncte înainte în trellis. Acest punct e la maxim δ tranziții înainte de l , unde de obicei δ este de cinci ori lungimea de constrângere a codului convoluțional. Astfel, valoarea bitului u_k asociat tranziției din starea $S_{k-l}=s$ pe calea ML, poate diferi, dacă în loc de calea ML algoritmul Viterbi selectează una din căile ce se unește cu calea ML ulterior, după maxim δ tranziții, adică în nivelul $k+\delta$. Din cele expuse rezultă că bitul u_k nu va fi afectat dacă algoritmul selectează oricare din căile care se unesc cu calea ML după acest punct, deoarece o asemenea cale va diverge de la calea ML după tranziția dintre $S_{k-l}=s$ și $S_k=s$. Astfel, când se calculează LLR pentru bitul u_k , algoritmul SOVA trebuie să țină cont de probabilitatea ca să fi fost incorect descărcate căile care se unesc cu calea ML din nivelul k în nivelul $k+\delta$. Acest lucru se face considerând valorile diferențelor metricilor $\Delta_i^{s_i}$ pentru toate stările s_i existente de-a lungul căii ML între nivelurile $i=k$ și $i=k+\delta$. Hagenauer a arătat că [JH95] acest LLR poate fi aproximat de:

$$L(u_k | \underline{y}) \approx u_k \min_{i=k \dots k+\delta; u_k \neq u_k^i} \Delta_i^{s_i} \quad (36)$$

unde u_k este valoarea bitului dată de calea ML, iar u_k^i este valoarea acestui bit pentru calea care se unește cu calea ML, dar va fi descărcată la nivelul i al trellisului. Astfel, minimizarea din relația (36) este făcută doar pentru căile care se unesc cu calea ML, care ar putea da o valoare diferită pentru bitul u_k dacă au fost alese ca supraviețuitori. Căile care se unesc cu calea ML, care ar fi dat aceeași valoare pentru u_k , evident că nu afectează gradul de siguranță al deciziei asupra lui u_k .

Liniile continue din figura 5 reprezintă tranzițiile atunci când bitul de intrare este -1 iar liniile punctate reprezintă tranzițiile pentru $u_k = +1$. Calea ML se presupune a fi calea nulă, formată numai din zero-uri și este trasată cu linie îngroșată. Sunt reprezentate și căile care se unesc cu calea ML. Se arată și cum calea ML dă o valoare de -1 pentru bitul u_k , dar căile care se unesc cu calea ML la nivelurile S_k , S_{k+1} , și S_{k+3} ale trellisului, dau

toate valorile +1 pentru bitul u_k . Astfel, dacă se presupune $\sigma = 3$, din relația (36), LLR-ul $L(u_k | \underline{y})$ va fi dat de -1 înmulțit cu minimul dintre diferențele metricilor Δ_k^0 , Δ_{k+1}^0 și Δ_{k+3}^0 .

Implementarea algoritmului SOVA

Pentru fiecare stare, de la fiecare nivel, se calculează metrica $M(s_k^s)$ pentru ambele căi ce intră într-o stare, folosind relația (32). Călea cu cea mai mare metrică e selectată ca supraviețuitoare și, pentru această stare, la acest nivel din trellis se memorează un pointer spre călea precedentă de-a lungul căii supraviețuitoare. Totuși, se memorează și informația folosită în relația (36), pentru a permite și calculul gradului de siguranță pentru biții decodați și anume $L(u_k | \underline{y})$. Astfel, diferența Δ_k^s dintre metricile supraviețuitoarelor și a căilor descărcate sunt memorate, împreună cu vectorul binar conținând $\delta+1$ biți, care indică, dacă călea descărcată ar fi dat sau nu aceeași serie de biți u_l pentru $l=k$ înapoi la $l=k-\delta$, la fel cum ar fi făcut supraviețuitoare. Această serie de biți este numită actualizarea secvenței în [JH95] și, după cum a observat Hagenauer, e rezultatul sumării modulo 2 (SAU-EXCLUSIV) dintre $\delta+1$ biți anteriori decodați de-a lungul supraviețuitoarelor și căile descărcate. Când algoritmul SOVA a identificat călea ML, secvența de actualizare memorată și diferențele metricilor de-a lungul acestei căi sunt folosite în relația (36) pentru a calcula valorile lui $L(u_k | \underline{y})$.

Algoritmul SOVA este cel mai puțin complex dintre toți algoritmi folosiți în decodarea prezentate aici. Robertson ș.a. au arătat că algoritmul are o complexitate pe jumătate față de cea a algoritmului Max-Log-MAP. În schimb algoritmul SOVA este cel mai puțin precis dintre algoritmi prezentați și, când e folosit într-un decodor turbo iterativ, duce la performanțe cu aproximativ 0,6 dB mai scăzute decât prin folosirea algoritmului MAP.

6. Compararea algoritmilor decodarelor componente

Algoritmul MAP este un decodor component optimal pentru turbo coduri. El găsește probabilitatea fiecărui bit u_k de a fi +1 sau -1, calculând probabilitatea tranziției din starea $S_{k-1} = s'$ la $S_k = s$ care poate apărea dacă bitul de intrare a fost +1 și la fel pentru fiecare tranziție care poate apărea dacă bitul de intrare a fost -1. Deoarece tranzițiile sunt mutual exclusive, probabilitatea ca să apară oricare dintre ele este suma probabilităților individuale și astfel LLR-ul pentru bitul u_k e dat de raportul celor două sume de probabilități, ca în relația (3).

Din cauza naturii Markov a trellisului și presupunerii că ieșirea trellisului este observată în zgomot fără memorie, probabilitățile individuale ale tranzițiilor din relația (3), pot fi exprimate ca produsul a trei termeni $\alpha_{k-1}(s')$, $\beta_k(s)$ și $\gamma_k(s',s)$ ca în relația

(5). Termenii $\gamma_k(s', s)$ pot fi calculați din probabilitățile a priori ale biților decodați și informația de canal recepționată, ca în relațiile (14) și (15). Algoritmul MAP este optimal pentru decodarea turbo codurilor dar este extrem de complex. În plus, din cauza înmulțirilor necesare la calculul recursiv a lui $\alpha_{k-1}(s')$ și $\beta_k(s)$ apar deseori probleme practice de calcul. Algoritmul Log-MAP este teoretic identic cu algoritmul MAP, dar transferă operațiile în domeniul logaritmic. Astfel, înmulțirile sunt înlocuite cu sume și problemele de calcul numeric de la algoritmul MAP sunt evitate, complexitatea algoritmului fiind redusă spectaculos.

Algoritmul Max-Log-MAP reduce în continuare complexitatea algoritmului Log-MAP folosind aproximarea prin maximizare (relația 20). Acest lucru are, comparativ cu algoritmul Log-MAP, două efecte la operare. În primul rând, după cum se poate vedea din relația (27), înseamnă ca sunt luate în considerare doar două tranziții când se găsește LLR $L(u_k | \underline{y})$ pentru fiecare bit u_k – cea mai bună tranziție de la $S_{k-1} = s'$ la $S_k = s$ care ar da $u_k = +1$ și cea mai bună care ar da $u_k = -1$. Asemănător, în calculul recursiv al termenilor $A_k(s) = \ln(\alpha_k(s))$ și $B_k(s) = \ln(\beta_k(s))$ din relațiile (24) și (25), aproximarea înseamnă că doar o tranziție, cea mai plauzibilă, e considerată când se calculează termenii $A_k(s)$ din $A_{k-1}(s')$ și $B_{k-1}(s')$ din $B_k(s)$. Aceasta înseamnă ca deși $A_{k-1}(s')$ ar trebui să dea logaritmul probabilității ca trellisul să ajungă în starea $S_{k-1} = s'$ de-a lungul *oricărei* căi pornind din starea $S_0 = 0$, de fapt dă logaritmul probabilității doar a *celeii mai plauzibile căi* spre starea $S_{k-1} = s'$. Asemănător, $B_k(s) = \ln(\beta_k(s))$ ar trebui să dea logaritmul probabilității secvenței recepționate $\underline{y}_{j>k}$ doar dacă trellisul se află în starea $S_k = s$ la nivelul k . Totuși, maximizarea din relația (25) folosită în calculul recursiv al termenului $B_k(s)$ înseamnă că doar calea cea mai plauzibilă dintre $S_k = s$ și sfârșitul trellisului este luată în considerare, și nu toate căile.

Astfel, algoritmul Max-Log-MAP găsește LLR $L(u_k | \underline{y})$ pentru un bit u_k dat, comparând probabilitatea celeii mai plauzibile căi care dă $u_k = +1$ cu probabilitatea celeii mai plauzibile căi care dă $u_k = -1$. Pentru următorul bit, u_{k+1} , se compară din nou cea mai bună cale care ar da $u_k = +1$, respectiv cea mai bună cale care ar da $u_k = -1$. Una dintre aceste „cele mai bune căi” va fi întotdeauna calea ML, și astfel nu se va schimba de la un nivel la altul, în timp ce cealaltă s-ar putea schimba. Algoritmul Log-MAP, spre deosebire de MAP, consideră fiecare cale în calculul LLR pentru fiecare bit. Tot ceea ce se schimbă de la un nivel la altul este împărțirea căilor în cea care dă $u_k = +1$ și cea care dă $u_k = -1$. Astfel, algoritmul Max-Log-MAP are performanțe mai scăzute față de MAP și Log-MAP.

În algoritmul SOVA, calea ML e găsită maximizând metrica din relația (32). Recursivitatea folosită pentru a găsi aceasta metrică e identică cu cea folosită pentru găsirea termenului $A_k(s)$ din relația (24), la algoritmul Max-Log-MAP. Odată aflată calea ML, decizia hard pentru un bit dat u_k e determinată de tranziția care a avut loc pe calea ML între nivelurile S_{k-1} și S_k ale trellisului. LLR pentru acest bit $L(u_k | \underline{y})$ e determinat analizând căile care se unesc cu calea ML și ar avea o decizie hard diferită pentru bitul u_k . LLR se ia ca fiind minimul diferenței metricilor pentru aceste căi. Folosind notațiile de la algoritmul Max-Log-MAP, odată ce o cale s-a unit cu calea ML, ea va avea aceeași valoare $B_k(s)$ ca și calea ML. Astfel, cum metrica de la algoritmul SOVA e identică cu valorile $A_k(s)$ de la algoritmul Max-Log-MAP, luând diferența

dintre metricile celor două căi care se unesc, în algoritmul SOVA e echivalent cu luarea diferenței dintre cele două valori ale $(A_{k-1}(s') + \Gamma_k(s', s) + B_k(s))$ în algoritmul Max-Log-MAP, ca în relația (27). Singura diferență este că în algoritmul Max-Log-MAP una din căi va fi calea ML, și cealaltă va fi cea mai plauzibilă cale care dă o decizie hard diferită pentru u_k . În algoritmul SOVA, una din căi va fi din nou calea ML, dar cealaltă cale care dă o decizie hard diferită pentru u_k , s-ar putea să nu fie calea de plauzibilitate maximă. În schimb ea va fi cea mai plauzibilă cale care dă o decizie hard diferită pentru u_k , și supraviețuiește ca să se unească cu calea ML. Alte căi, mai plauzibile, care dau o decizie hard diferită pentru bitul u_k față de calea ML, ar putea fi descărcate înainte de a se uni cu calea ML. Astfel că algoritmul SOVA are o performanță mai slabă comparativ cu algoritmul Max-Log-MAP. Totuși cei doi algoritmi furnizează aceleași decizii hard, care în ambele cazuri sunt determinate de calea ML, decizii calculate folosind aceeași metrică la ambii algoritmi.

Complexitatea celor trei algoritmi depinde de lungimea de constrângere K a codurilor convoluționale folosite, dar oricum algoritmul Max-Log-MAP e de două ori mai complex decât algoritmul SOVA. Algoritmul Log-MAP este cu ceva mai complex decât algoritmul Max-Log-MAP din cauza căutării în tabela de corecții a factorilor $f_c(x)$. Când se folosește decodarea turbo iterativă, performanța algoritmilor e de același ordin de mărime ca și complexitatea lor, astfel că algoritmul Log-MAP are cea mai bună performanță, fiind urmat de algoritmul Max-Log-MAP și la sfârșit de algoritmul SOVA, cu cea mai slabă performanță.

E posibilă decodarea optimală a turbo codurilor într-un singur pas, non-iterativ [BH00], din cauza complexității se preferă decodarea iterativă neoptimală. Un asemenea decodor iterativ are două decodare componente cu intrări și ieșiri soft, care pot folosi algoritmul MAP, Log-MAP, Max-Log-MAP sau SOVA. Algoritmul MAP e optimal dar foarte complex. Algoritmul Log-MAP e o simplificare a lui MAP având aceeași performanță optimă la o complexitate rezonabilă. Ceilalți doi algoritmi, Max-Log-MAP și SOVA sunt mai puțin complecși, dar au o performanță cu ceva mai scăzută.

Cercetările continuă pentru îmbunătățirea performanței și scăderea complexității. De exemplu, Hagenauer ș.a. lucrând la coduri turbo bazate pe coduri bloc a obținut performanțe aproape de limita Shannon, la o rată de codare aproape de 1, deși cu un efort de decodare mare. Eforturi se depun și în sistemele de transmisiuni video sau a vocii, folosind turbo codurile. Multe aplicații sunt la sistemele video interactive [HCS], precum și în rețelele locale. Se așteaptă ca cercetările să conducă la aceleași performanțe ale turbo codurilor și pe canale dispersive afectate de fading.

7. Utilizarea turbo codurilor în marcarea transparentă a imaginilor

Marcarea transparentă WM (WaterMarking) este un proces prin care un semnal este ascuns sau înglobat într-alt semnal, de obicei o fotografie, voce sau video. Există o serie de tehnici de înglobare a semnalizării care cuprind de la steganografia clasică până la aplicațiile actuale referitoare la interesele comerciale cu privire la drepturile de autor și

controlul la copiere al conținutului. În acest ultim caz, un avantaj al înglobării semnalului este că informația de control prin copiere este înglobată direct în datele media care trebuie protejate și astfel este independentă de difuzare și/sau formatul transmisiei, rămânând prezentă și după decriptare [CMM99].

Marcarea transparentă este o formă de comunicație. Condiția ca fidelitatea conținutului documentului media să nu fie afectată de către semnalul de marcă, implică faptul că semnalul de marcă să fie foarte mic comparativ cu cel asociat conținutului documentului, asemănător cu condițiile impuse puterii din comunicațiile tradiționale. Acest lucru, asociat cu faptul că din punctul de vedere al detectării semnalului de marcă, semnalul care reprezintă documentul apare ca un zgomot, a condus la concluzia că marcarea transparentă este o formă de comunicație cu spectru împrăștiat, SS (Spread-Spectrum) [PL02,CMM99]. Pentru ca marcajul să fie imperceptibil, el trebuie să aibă o putere foarte mică, astfel încât transmiterea să apară ca o formă de comunicație printr-un canal extrem de zgomotos. Se știe faptul că tehnicile SS facilitează comunicația prin medii zgomotoase, și de aceea, sunt mult folosite în marcarea transparentă. Majoritatea schemelor WM reprezintă informația (payload) sub forma unei secvențe de zgomot pseudo-aleator, PN (Pseudo-Noise), așa numita secvență directă, DS (Direct Sequence) din SS. Astfel, modul de generare a secvenței aleatoare devine cheia WM. Pentru decodarea marcajului WM, decodorul trebuie să cunoască cheia, astfel că aceste scheme sunt, prin excelență, private. Hartung ș.a., citat în [PL02], a propus ca secvența PN să fie publică, pentru a permite decodarea publică a marcajului. Detectorul/decodorul mai trebuie, de asemenea, să se sincronizeze cu secvența PN, înainte ca să aibă loc detectarea/decodarea. Acest lucru reprezintă un dezavantaj major al multor scheme existente. O variație față de principiul SS de bază, este filtrarea trece bandă/trece jos a secvenței, anterior înglobării marcajului, astfel încât el va avea o energie foarte mică în componentele de frecvență înaltă, care tinde să fie eliminată de către sistemele de compresie.

Pentru a îmbunătăți robustețea marcajului, se utilizează deseori, coduri de control a erorilor, pentru a coda informația utilă înainte de înglobare. Dintre aceste coduri sunt de menționat turbo codurile. Valenti [VAL96] a analizat turbo codurile ca și coduri liniare și a obținut o limită superioară a erorii pe cuvânt, WER (Word Error Rate) aproximativă, în condițiile AWGN:

$$P_{err,turbo} \approx \sum_{w=d_{min}}^{w=d_{max}} A_w Q\left(\sqrt{wR_c SNR}\right),$$

unde d_{min} și d_{max} sunt distanțele Hamming minimă și maximă ale codului, A_w este numărul de cuvinte de cod cu ponderea w , R_c este rata codului iar SNR este raportul semnal pe zgomot. Curbele BER au un gradient negativ. Dacă BER la intrare este mai mic decât un prag de zgomot gaussian, respectiv SNR la intrare este mai mare decât un prag, se pot obține erori de decodare foarte mici, utilizând turbo-codurile. Acest lucru are o importanță deosebită în marcarea transparentă [KMKM00].

Majoritatea cercetărilor în marcarea transparentă efectuate până acum s-au axat pe căi noi de ascundere/înglobare a informației și pe căi de detecție și/sau extragere a acestei informații ascunse. Se creează în prezent o teorie care stabilește limitele fundamentale ale

oricărei scheme WM de marcare transparentă. Problema WM poate fi văzută ca o problema modificată de codare canal-sursă, cu condiții impuse ratei și distorsiunii.

Rolul principal al codării canalului este de fapt de a îngloba semnalul de marcare în datele originale, cu o distorsiune redusă și de a oferi o protecție față de atacuri, care distorsionează, atât pentru datele originale, cât și pentru semnalul de marcare.

În cele ce urmează e introdusă mai întâi, problema marcării transparente în general, apoi sunt abordate strategiile optime de urmat de către transmițător și atacator. Este analizată și abordarea acestei probleme prin cuantizare, combinată cu codarea canalului. Apoi atenția este îndreptată spre tehnici de decodare iterativă și aplicabilitatea codurilor decodabile iterativ la marcarea transparentă. Sunt apoi prezentate graficele performanțelor diferitelor coduri și dezvoltări posibile în viitor.

Marcarea transparentă

Recent a fost dezvoltată o teorie care stabilește limitele fundamentale în cazul general al marcării transparente, descrise mai jos. Un mesaj M trebuie comunicat unui receptor. Mesajul e înglobat într-o secvență de lungime N , $\tilde{X}^N = (\tilde{X}_1, \dots, \tilde{X}_N)$ numit *setul gazdă al datelor*, tipic date de la gazdă ca o imagine/video/semnal audio. Înglobarea se face folosind o cheie criptografică $K^N = (K_1, \dots, K_N)$ care este disponibilă și la decodor. Rezultatul reprezintă *datele marcate transparent* sau *datele compuse* și ele sunt supuse *atacurilor*, care încearcă să înlăture orice urmă a lui M din X^N . Procesul de înglobare a datelor trebuie să fie *transparent*: X^N trebuie să fie similar cu \tilde{X}^N , conform cu o măsură a distorsiunii adecvată (fig.6).

Sistemul trebuie și să fie robust: mesajul înglobat trebuie să reziste oricărui atac (dintr-o clasă rezonabilă de atacuri). O restricție tipică impusă atacatorului este o limită a gradului de distorsionare care se introduce.

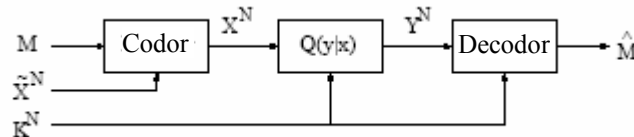


Fig. 6: O schemă generală de marcare transparentă

Sistemul poate fi analizat definind modelul statistic pentru M , \tilde{X}^N și K^N , o funcție de distorsiune, specificând condițiile pentru nivelurile de distorsiune admisibile, D_1 și D_2 pentru cel care înglobează datele respectiv pentru atacator, și specificând informația disponibilă tuturor părților. Apoi, se poate căuta *rata maximă pentru o transmisie sigură* pentru M , față de *orice* strategie posibilă de înglobare a datelor, și față de *orice* atac care satisface condițiile specificate. Acest lucru se face prin aplicarea principiilor din teoria informației și, în particular, conform conceptului fundamental des folosit în literatura referitoare la marcarea transparentă: chiar dacă semnalul gazdă \tilde{X}^N nu e disponibil la decodor (*marcare transparentă blind/oarbă*), faptul că la codor e cunoscut N , înseamnă că rata care poate fi atinsă este mai mare decât dacă \tilde{X}^N ar fi fost o interferență

necunoscută. Această problemă cade în categoria problemelor de comunicații în care codorul și decodorul au acces la informații suplimentare (side informations). *Capacitatea de înglobare/ascundere* limitează ratele unei transmisii sigure și depinde de alegerea funcției de distorsiune și a nivelurilor de distorsionare admisibile D_1 și D_2 .

Atât pentru marcarea transparentă oarbă (blind) cât și pentru marcarea non-oarbă au fost găsite formule concise pentru semnalele gazdă gaussiene i.i.d. (infinite și identic distribuite) și funcțiile de distorsiune de tip eroare medie pătratică. Se presupune că atacatorul nu cunoaște funcțiile de codare și de decodare, ca de exemplu funcții care depind de o cheie criptografică. În ambele cazuri, atacul este canalul de test gaussian din teoria rată-distorsiune [KMKM00]. Capacitatea are expresia:

$$C = \frac{1}{2} \log \left(1 + \frac{D_1}{\beta D_2} \right),$$

unde $\beta \geq 1$ este un „factor de creștere a zgomotului” care tinde la 1 pentru nivele de distorsiune D_1 mici, $D_2 \ll \sigma^2$, unde σ^2 este dispersia semnalului gazdă. De remarcat este faptul că C este aceeași atât pentru marcarea oarbă cât și pentru marcarea non-oarbă, și valoarea sa limită e independentă de σ^2 , dacă $D_1, D_2 \ll \sigma^2$.

Stabilirea structurii sistemului

Formula capacității, prezentată anterior, sugerează o strategie de codare și decodare. În această secțiune sunt descrise procedura de marcăre transparentă și blocurile principale. În figura 7 este descrisă procedura generală de înglobare. Presupunem că semnalul gazdă \tilde{X} este distribuit conform cu o distribuție gaussiană de medie nulă și dispersie σ^2 , adică $\tilde{X} \sim N(0, \sigma^2)$. Colecția dicționarelor cuvintelor de cod CB_1, CB_2, \dots, CB_M , i.e. subseturi discrete ale spațiului euclidian \mathbf{R}^N folosit pentru cuantizarea vectorială a semnalului gazdă \tilde{X} . Se presupune că alegerea dicționarelor este aleatoare. Transmițătorul marcajului introduce informația în semnalul gazdă \tilde{X} , alegând unul din cele din cele M dicționare posibile, pentru etapa de cuantizare vectorială. Cele M dicționare sunt astfel alese încât distorsiunea estimată cauzată de aceasta etapă să nu depășească D_1 impusă. Cuantizarea se face asupra unei versiuni scalate $\alpha \tilde{X}$ a semnalului gazdă, generându-se vectorul U . Aici, parametrul α este un factor de scalare $\alpha = D_1 / (D_1 + \beta D_2)$, unde $\beta = (\sigma^2 + D_1) / (\sigma^2 + D_1 - D_2)$. În final se transmite semnalul $X = U + (1 - \alpha) \tilde{X}$.

Semnalul X e transmis printr-un *canal de atac*, un dispozitiv asupra căruia atacatorul are un control total, obținându-se semnalul recepționat Y . Singura condiție impusă asupra canalului de atac este ca el să ducă la o distorsiune dintre X și Y mai mică decât D_2 . Sarcina receptorului este estimarea sigură a indexului dicționarului de coduri folosit pentru cuantizare. Pentru a îndeplini aceasta sarcină, vectorul recepționat este mai întâi

scalat cu factorul $\gamma = (D_1 + \alpha\sigma^2)/(D_1 + D_2 + \beta\sigma^2)$. Semnalul rezultat este apoi decodat cu codul C , care este reuniunea celor M dicționare de cod CB_i .

Dacă transmiterea marcajului a fost făcută cu succes, receptorul îl va decoda ca și cuvânt de cod din dicționarul ales la procedura de codare și astfel el va putea reconstrui mesajul E . Se arată că această codare aleatoare determină o transmisie sigură a marcajului, la orice rata $R = \log M/N$ care satisface condiția $R < C$.

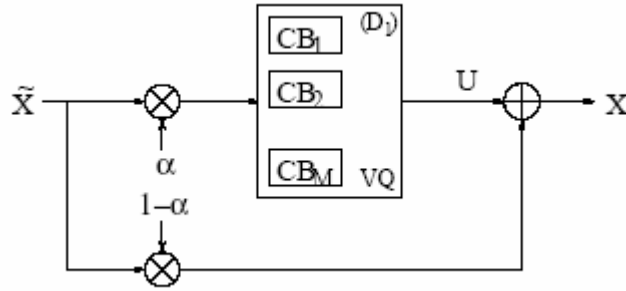


Fig. 7: Structura codorului pentru schema de watermarking

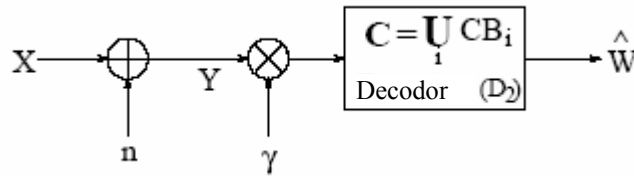


Fig. 8: Structura decodorului pentru schema de watermarking

Abordarea unei codări realizabile practic

Schema de codare prezentată în secțiunea precedentă are dezavantajul oricărei scheme de codare aleatoare, adică e nefezabilă din cauza complexității. Pentru a obține o soluție realizabilă practic a problemei marcării transparente, sunt necesare scheme de codare de complexitate redusă, care să mențină totuși elementele de bază ale schemelor de codare aleatoare. În acest context, sarcina principală este găsirea unui dicționar de coduri CB care constă din reuniunea unor subcoduri disjuncte CB_i , cu proprietatea că CB este un dicționar de coduri bun și *practic* pentru *cuantizarea vectorială*. Rezolvarea simultană a acestor două cerințe se dovedește a fi sarcina principală în obținerea unor scheme de codare pentru marcarea transparentă.

Atenția va fi centrată doar pentru cazul distorsiunilor mici, adică $(D_1, D_2) \ll \sigma^2$. În plus, se presupune ca dicționarele de coduri CB_i și CB au o structură latice. Fie C un cod binar liniar de lungime N și dimensiune K . Latticea CB obținută din construcția A [KMKM00] și din codul C e definită ca $CB = \{x \in \mathbf{Z}^N : x \bmod 2 \in C\}$. Fie C' un subcod liniar al codului C . Se pot găsi sublattice ale lui CB ca $CB' = \{x \in \mathbf{Z}^N : x \bmod 2 \in C'\}$. Subcodul C' generează coseturile $|C|/|C'|$ ale lui C' ținând cont de C . Construcția A aplicată acestor coseturi generează $|C|/|C'|$ translații disjuncte ale latticei CB' . Se alege subcodul C' ca fiind codul cel mai simplu ce constă din cuvintele nule (cu toate componentele nule), și obținem sublatticea $CB' = 2\mathbf{Z}^N$. Coseturile lui C' ținând cont de C

sunt date chiar de cele 2^K cuvinte de cod ale lui C și luăm 2^K translații ale lăței $2\mathbf{Z}^N$ să fie dicționare pentru partea de cuantizare vectorială a schemei de codare pentru marcarea transparentă. Alegerea lui C ca și cod nul e tentantă din mai multe motive. Scopul este de a găsi coduri bune și practice pentru cuantizarea vectorială și codarea canalului, calități care depind foarte mult de codul C ales. Turbo codurile și alte coduri decodabile iterativ reprezintă o alegere excelentă pentru acest cod. Pentru cuantizarea vectorială s-a ales o lățe extrem de simplă și practică, $2\mathbf{Z}^N$, pentru care schema de codare vectorială poate fi implementată ușor cu un cuantizor scalar. În figura 9 e prezentată procedura de codare pentru schema aleasă. Mesajul W dat este codat în cuvânt de cod al codului binar C , obținând cuvântul de cod $C(W)$.

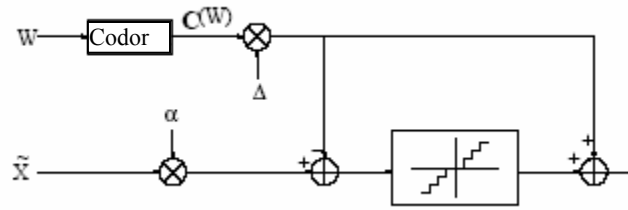


Fig. 9: Codor posibil pentru schema de marcare transparentă.

Cuantizarea vectorială constă din găsirea celui mai apropiat punct de lățe din lățe translatată $\Delta(2\mathbf{Z}^N + C(W))$, unde Δ este un parametru ales pentru ajustarea distorsiunii D_I . O cale de implementare eficientă a acestei proceduri este translatarea semnalului $\alpha\tilde{X}$ înainte de a face cuantizarea scalară (care este echivalentă cu un cuantizor lățe $\Delta 2\mathbf{Z}^N$). Această translație a lui $\alpha\tilde{X}$ este compensată pentru versiunea cuantizată a lui $\alpha\tilde{X}$.

Regăsirea marcajului din semnalul distorsionat X se face prin decodarea dicționariului lățe. Structura decodorului e prezentată în figura 8. Semnalul care transportă informația distorsionată e recepționat din canal și scalat cu parametrul γ , pentru a găsi estimatul afectat de zgomot al ieșirii actuale a cuantizorului vectorial. Se știe că $Y = X + n$ unde $X = U + (1 - \alpha)\tilde{X}$. De asemenea, notând cu E eroarea de cuantizare introdusă în etapa de cuantizare vectorială, se obține $\tilde{X} = (U + E) / \alpha$ și $U = \alpha Y - \{E(1 - \alpha) + n\alpha\}$. Deoarece avem nevoie de un estimat al lui U ca intrare în decodor, se scalează mai întâi cu parametrul α ieșirea canalului (cele expuse sunt valabile doar pentru distorsiuni mici).

Decodarea lăței CB este relativ simplă dacă alegem codul binar C pentru care e disponibil un algoritm de decodare eficient. Astfel, cea mai naturală alegere e dată de turbo coduri și coduri produs decodabile iterativ. Prima sarcină este obținerea cuvântului de cod $C(W)$ care a fost folosit în translatarea cuantizorului scalar din figura 7. Trebuie să obținem un estimat soft pentru fiecare bit individual din $C(W)$ pentru a porni algoritmul de decodare turbo. Schema de cuantizare scalară ne permite să obținem aceste estimate pentru fiecare poziție individuală. Notăm cu Y_i valoarea recepționată pe poziția i a cuvântului de cod Y .

Se definesc $d_{0,i}$ și $d_{1,i}$ ca fiind

$$d_{0,i} = \min_j (Y_i - \Delta 2j)^2 \text{ și}$$

$$d_{1,i} = \min_j (Y_i - \Delta(2j+1))^2$$

unde j este întreg în ambele cazuri. Astfel, $d_{0,i}$ și $d_{1,i}$ sunt distanțele euclidiene pătratice ale valorilor recepționate, față de cel mai apropiat nivel al cuantizorului scalar, în ipoteza

ca $C(W)$ a fost egal cu 0 sau 1. Pentru a transla aceste distanțe în logaritmul raportului de plauzibilitate, presupunem că distribuția lui Y_i , fiind dată $C(W)_i$, este gaussiană de medie nulă și dispersie $\sigma^2 = (D_1 D_2) / (D_1 + D_2)$. În această ipoteză, logaritmul raportului de plauzibilitate este bine aproximat cu :

$$\ln \left(\frac{\Pr \{C(W) = 0 | Y_i\}}{\Pr \{C(W) = 1 | Y_i\}} \right) = \frac{d_{0j}^2 - d_{1j}^2}{2\tilde{\sigma}^2}$$

În [KMKM00] au fost făcute simulări pentru câteva coduri binare: un cod produs [256,25,64] format din doua coduri Reed-Muller[16,5,8], un turbo cod de lungime 252 și rata 1/9 rezultat prin concatenarea serială a două coduri convoluționale cu rata 1/3 și matricea generatoare $g=[100;111;101]$, și un cod Hamming folosit ca element de referință. Cel mai bun dintre ele s-a dovedit a fi turbo codul, dar și pentru acesta a rămas o distanță de 4,5 dB în raportul D_2/D_1 față de capacitatea obținabilă, care poate fi acoperită în mare parte prin folosirea unor coduri mai elaborate și de lungime mai mare.

Scopul a fost găsirea unor coduri bune și realizabile practic din schema de marcare transparentă. Dar autorii constată ca partea de codare vectorială a schemei de codare este o sursă serioasă de pierderi, în particular datorită utilizării cuantizării scalare. Soluția propusă de aceștia este găsirea unor cuantizări vectoriale bune, care să permită transmiterea la capacitatea apropiată de limita teoretică. Altă sursă de pierderi este calculul logaritmului raportului de plauzibilitate în ipoteza zgomotului gaussian, ipoteza care este încălcată prin folosirea cuantizării scalare, deoarece zgomotul de cuantizare este uniform distribuit în bandă.

BIBLIOGRAFIE

- [BCJR74] L.R.Bahl, J.Cocke, F.Jelinek, J.Raviv, „*Optimal Decoding of Linear Codes for Minimizing Symbol Error Rate*”, IEEE Trans. Info. Theory, vol. IT-20, Mar. 1974, pp.248-287
- [BG96] C. Berrou, A.Glavieux, „*Near Optimum Error Correcting Coding and Decoding: Turbo-Codes*”, IEEE Trans. Commun., vol. 44, no. 10, Oct.1996, pp. 1262-1271
- [BGT93] C. Berrou, A. Glavieux, P. Thitimajashima, “*Near Shannon Limit Error-Correcting Coding and Decoding: Turbo Codes*”, Proc.ICC’93, Geneva, Switzerland, May 1993, pp. 1064-1070
- [BH00] M.Breiling, L.Hanzo, „*The Super-Trellis Structure of Turbo Codes*”, IEEE Trans. Info. Theory, vol. 46, no. 6, Sept. 2000, pp.2212-2227
- [BM96a] S.Benedetto, G.Montorsi „*Unveiling Turbo-Codes: Some Results on Parallel Concatenated Coding Schemes*” IEEE Trans. Info. Theory, vol. 42, pp. 409-428, Mar.1996
- [BM96b] S.Benedetto, G.Montorsi, „*Design of Parallel Concatenated Convolutional Codes*”, IEEE Trans. Commun., vol.44, pp. 591-600, May 1996
- [BPGS02] Félix Balado, Fernando Pérez-González, and Sandro Scalise, „*Turbo coding for sample-level watermarking in the DCT domain*”, Proc. of the IEEE International Conference on Image Processing (ICIP), pages 1003-1006, Thessaloniki, Greece, October 2001.
- [CMM99] I.J.Cox, M.L.Miller, A.L.MCKellis, „*Watermarking as Communications with Side Effects*”, Proc. of IEEE ,vol. 87,no. 7,July 1999,pp1127-1141
- [CPR02] J.Chou, S.S.Pradhan, K.Ramchandran, „*Turbo Coded Trellis Based Constructions for Data Embedding: Channel Coding with Side Information*”, In Proc. of Asilomar Conference on Signals, Systems and Computers, Pacific Grove (USA), October 2001
- [DB03] C.Douillard, C.Berrou, „*M-Binary Turbo Codes*”, March 31, Submitted to IEEE Trans.Communication
- [DDP] S.Dolinar, D.Divsalar, E.Pollara, „*Code Performance as a Function of Block Size*”, SPL, NASA,[on line], http://tmo.jpl.nasa.gov/tmo/progress_report/42-133/title.htm
- [FB97] P.Perry, C.Berrou, „*Comparison on Pseudo-Syndrome and Syndrome Techniques for Synchronising Viterbi Decoders*”, Intern. Symposium on Turbo Codes, Brest, France, 1997
- [FV97] W.Feng, B.Vucetici, „*A List Bidirectional Soft Output Decoder of Turbo Codes*”, Intern. Symposium on Turbo Codes, Brest, France, 1997
- [HLY02] L.Hanzo, T.H.Liew, B.L.Yeap, „*Turbo Coding, Turbo Equalisation and Space-Time Coding*”, John Wiley & Sons, England, 2002
- [HOP96] J. Hagenauer, E.Offer, L. Papke, „*Iterative decoding of Binary Block and Convolutional Codes*”, IEEE Trans. Info. Theory, vol. 42, no. 2, Mar. 1996, pp 429- 445.
- [HW99] C.Heegard, S.B. Wicker, „*Turbo Coding*”, Kluwer Academic Publishers,1999
- [JBDP97] M.Jezequel, C.Berrou, C.Douillard, P.Penard, „*Characteristics of a Sixteen-State Turbo-Encoder/Decoder (Turbo 4)*”, Intern. Symposium on Turbo Codes, Brest, France, 1997
- [JH95] J.Hagenauer, „*Source Controlled Channel Decoding*”, Ieee Trans. Communic., vol. 43, pp.2449-2457, Sept. 1995

- [JH97] J.Hagenauer, „*The Turbo Principle: Tutorial Introduction and State of the Art*”, Intern. Symposium on Turbo Codes, Brest, France, 1997
- [KMKM00] M. Kesal, M. K. Mihcak, R. Koetter, and P. Moulin, "*Iteratively decodable codes for watermarking applications*," in Proc. 2nd Int. Symp. on Turbo Codes and Related Topics, Sept. 2000 , Brest, France
- [LYHH93] J.Lodge, R.Young, P.Hoeher, J.Hageanauer, „*Separable MAP Filters for the Decoding of Product and Concatenated Codes*”, Proc.IEEE Intern.Conference on Communic (ICC) Geneva, Switzerland, May 1993, pp. 1740-1745
- [MDC02] M.L.Miller, G.J.Doerr, I.J.Cox, „*Dirty-Paper Trellis Codes for Watermarking*”, IEEE Int.Conf.on Image Processing, vol II,pp 129-132, 2002
- [PL02] Patrick Loo, „*Digital Watermarking using Complex Wavelets*”, Ph.D. Thesis., March 2002, Univ. of Cambridge,USA
- [PRO00] J.G.Proakis, „*Digital Communications*”, editia4-a, New-York, Edit. Mc Graw-Hill, 2000
- [PSC96] L.C.Perez, J. Seghers, D.J.Costello, „*A Distance Spectrum Interpretation of Turbo-Codes*”, IEEE Trans. Inform. Theory, vol. 42, pp. 1698-1709, Nov. 1996
- [SKL97] B.Sklar, „*A Primer on Turbo Code Concepts*”, IEEE Communic. Magazine, pp. 94-102, Dec. 1997
- [TC00] O.Y.Takeshita, D.J.Costello Jr., „*New Deterministic Interleaver Design for Turbo Codes*”, IEEE Trans. Info. Theory, vol. 46, no. 6, Sept. 2000, pp.1988-2006
- [THI93] P. Thitimajshima, “Les codes Convolutifs Récursifs Systématiques et leur application à la concaténation parallèle”, These, 21.12.1993
- [VAJ95] Viterbi A.J, „*CDMA. Principles of Spread-Spectrum Communications*”, Addison Wesley Wireless Communic.,1995
- [VAL96] M.C.Valenti, „*An Introduction to Turbo Codes*” , <http://www.csee.wvu.edu/~mvalenti/documents/valenti1996.pdf> , May 1996
- [VY00] B.Vucetici, J.Yuan, „*Turbo Codes. Principles and Applications*”, Kluwer Academic Publishers, 2000
- [WH00] J.Woodard, L.Hanzo, „*Comparative Study of Turbo Decoding Techniques: An Overview*” , IEEE Trans. Vehic. Techn.,vol. 49, no. 6, Nov. 2000